

doi: 10.13241/j.cnki.pmb.2019.10.009

FABP4 对脂多糖诱导 Kupffer 细胞 NF-κB 活化和炎症的影响 *

陶梅¹ 赵曙光² 赵丽² 张哲² 李武良¹ 王晓叶^{1△}

(1 西安交通大学附属西安市第九医院消化内科 陕西 西安 710054; 2 空军军医大学附属唐都医院消化内科 陕西 西安 710038)

摘要 目的:研究脂肪型脂肪酸结合蛋白(FABP4)对脂多糖(LPS)诱导Kupffer细胞(KCs)NF-κB通路活化和炎症反应的影响。**方法:**通过梯度离心的方法分离大鼠KCs,按照 1×10^5 接种于6孔板,贴壁后饥饿24 h,不同浓度脂多糖(LPS,0、5、10和20 ng/mL)刺激24 h,提取蛋白和RNA,通过Western-Blot检测NF-κB通路蛋白表达变化,利用荧光定量PCR检测IL-1β和IL-6 mRNA表达变化;利用RNAi沉默KCs FABP4表达,通过Western-Blot和荧光定量PCR检测其对LPS诱导NF-κB通路活化的影响;分别利用FABP4细胞因子刺激和慢病毒上调FABP4的表达,通过Western-Blot和荧光定量PCR检测其对KCs NF-κB通路和炎症反应的影响。**结果:**LPS能够以浓度依赖的方式(0、5、10和20 ng/mL)诱导KCs FABP4 mRNA和蛋白的表达,以20 ng/mL最为明显($P<0.05$);沉默FABP4可以显著减弱LPS(20 ng/mL)诱导的p-p65和p-IκBα的表达,以及炎症细胞因子IL-1β和IL-6的释放($P<0.05$);外源性FABP4(10 ng/mL和20 ng/mL)刺激24 h后,能够明显诱导p-p65和p-IκBα的表达,促进炎症因子(IL-1β和IL-6)的合成($P<0.05$);利用慢病毒上调FABP4,可以显著诱导p-p65和p-IκBα的表达以及炎症因子(IL-1β和IL-6)的表达($P<0.05$),而抗氧化剂NAC(10 μM)处理,则显著减弱此效应($P<0.05$)。**结论:**FABP4介导了LPS刺激KCs NF-κB通路的活化和炎症反应。

关键词:NAFLD;Kupffer细胞;FABP4;NF-κB;炎症反应**中图分类号:**R-33; R575.5 **文献标识码:**A **文章编号:**1673-6273(2019)10-1845-07

The Role of FABP4 on LPS induced Kupffer Cells NF-κB Pathway Activation and Inflammation Response*

TAO Mei¹, ZHAO Shu-guang², ZHAO Li², ZHANG Zhe², LI Wu-liang¹, WANG Xiao-ye^{1△}

(1 Department of Gastroenterology, Ninth Hospital of Xi'an, Xi'an Jiaotong University, Xi'an, Shaanxi, 710054, China;

(2 Department of Gastroenterology, Tangdu Hospital, Fourth Military Medical University, Xi'an, Shaanxi, 710038, China)

ABSTRACT Objective: To investigate the role of FABP4 on LPS induced Kupffer cells NF-κB pathway activation and inflammation response. **Methods:** Liver Kupffer cells were isolated from SD rats using gradient centrifugation. Isolated KCs were inoculated into 6 well cell culture plate with the density of 1×10^5 /mL, then were treated with different concentrations LPS (0, 5, 10, 20 ng/mL) for 24 hours. NF-κB pathway activation was examined through Western-Blot. IL-1β and IL6 expressions were detected through qRT-PCR. Then KCs were treated with LPS for 24 hours after FABP4 knockdown and NF-κB pathway activation was examined. Further, KCs were treated with recombination FABP4 cytokines (10 and 20 ng/mL) or transfected with FABP4 lentivirus and NF-κB pathway activation was examined. Lastly, KCs transfection with FABP4 lentivirus were treated with NAC (10 μM) and then NF-κB pathway activation were examined. **Results:** Exogenous LPS (0, 5, 10, 20 ng/mL) treatment could significantly promote the expression of FABP4 in Kupffer cells on both mRNA and protein levels in concentration-dependent pattern with most obvious at 20 ng/mL ($P<0.05$). Knockdown of FABP4 could significantly alleviate LPS induced p65 and IκB phosphorylation and inflammation factors (IL-1β and IL6) expressions in KCs ($P<0.05$). Exogenous FABP4 cytokines (10 and 20 ng/mL) treatment or transfection with FABP4 lentivirus could significantly promote p65 and IκB phosphorylation with IL-1β and IL6 expressions in KCs ($P<0.05$). And NAC (10 μM) treatment could significantly alleviate NF-κB pathway activation and inflammation factors expressions in KCs after FABP4 lentivirus transfection ($P<0.05$). **Conclusions:** FABP4 is involved in LPS induced Kupffer cells NF-κB pathway activation and inflammation response.

Key words: NAFLD; Kupffer cells; FABP4; NF-κB; Inflammation**Chinese Library Classification(CLC):** R-33; R575.5 **Document code:** A**Article ID:** 1673-6273(2019)10-1845-07

* 基金项目:陕西省社会发展科技攻关项目(2016SF-303);西安市科技计划项目(2016045SF/YX01(4))

作者简介:陶梅,硕士,主任医师,主要研究方向:非酒精性脂肪性肝病,E-mail: wu-taomei@163.com

△ 通讯作者:王晓叶,大学本科,主治医师,主要研究方向:非酒精性脂肪性肝病,E-mail: 864140783@qq.com

(收稿日期:2018-09-24 接受日期:2018-10-20)

前言

库普弗细胞(Kupffer cells, KCs)活化释放炎症因子是非酒精性脂肪性肝病(Non-alcoholic fatty liver disease, NAFLD)发病的始发环节。KCs 作为肝脏的固有免疫细胞, 是防治 NAFLD 的重要靶细胞^[1,2]。炎症和胰岛素抵抗(Insulin resistance, IR)是 NAFLD 的两个主要特征。研究表明^[3,4], 高脂饮食产生代谢性内毒素血症诱导 NAFLD, LPS 是其关键致病因子。LPS 通过诱导 KCs 活化, 导致 NF-κB 核转位, 上调炎症因子如 IL-1α、IL-1β、IL-6、IL-10 和 TNF-α 等的合成, 诱发肝脏早期 IR, 导致 NAFLD 的发生。抑制 KCs 功能或选择性剔除 KCs 可有效减轻 LPS 诱导的肝损害, 防止高脂饮食引起 NAFLD^[5]。

脂肪酸结合蛋白(Fatty acid bind proteins, FABPs)是一组同源性的低分子(相对分子质量为 14 000~15 000)胞浆蛋白, 组织特异性强, 目前发现的 9 种 FABPs 中, 脂肪型 FABP(A-FABP/FABP4)在 NAFLD 发病中的作用受到重视。FABP4 主要存在于脂肪细胞及巨噬细胞, 小部分可释放入血液^[6]。LPS 诱导的急性肝损伤或高脂饮食导致的 NAFLD 小鼠, 增高的 FABP4 主要表达于 KCs, GdCl3 选择性封闭 KCs 后, 无论是 LPS 刺激还是高脂饮食均无 FABP4 表达^[7]。FABP4 可能通过影响脂代谢及炎症反应, 参与肥胖相关的 IR, 但其具体的作用机制, 尚需进一步研究。

1 材料与方法

1.1 实验动物

成年雄性 SD 大鼠, SPF 级, 体重 300± 50 g, 购自第四军医大学实验动物中心, 该研究通过第四军医大学实验动物伦理审查。

1.2 实验试剂

LPS、IV 型胶原酶和 Percoll 分离液购自 Sigma 公司; RPMI1640 培养基和胎牛血清购自 Gibco 公司; 总 RNA 提取试剂盒购自 QIAGEN 公司; 反转录试剂盒和荧光定量 PCR 试剂购自 Takara 公司; NAC 和 RIPA 裂解液购自江苏碧云天生物有限公司; 蛋白酶抑制剂和磷酸酶抑制剂购自 MCE 公司; BCA 蛋白定量试剂盒购自 Thermo 公司; SDS 凝胶电泳试剂盒购自康为世纪生物有限公司; CD163 多克隆抗体和 FABP4 多克隆抗体购自 Abcam 公司, p65、p-p65、p-IκBα 和 IκBα 抗体购自 CST 公司; HRP 标记的抗兔二抗购自 CST 公司; Alexa Fluor 488 标记山羊抗兔 IgG 二抗购自北京中杉金桥生物技术有限公司; DAPI 染色液购自江苏碧云天生物技术有限公司; 人源 FABP4 细胞因子购自 R&D 公司; FABP4 慢病毒和 FABP4 小干扰以及人 FABP4(货号:HQP005072)、大鼠 FABP4(货号:RQP051590)、大鼠 IL-1β(货号:RQP051122)和大鼠 IL-6(货号:RQP048925)引物购自广州复能有限公司, 引物序列见表 1; ECL 超敏发光液购自 ZETA 公司。

表 1 PCR 引物序列

Table 1 The PCR primers

Genes	Primers	
Rat FABP4	Foward	CGTAGAAGGGACTTGGTCG
	Reverse	CCCCACCATCCAGGGTTATG
Rat IL-1β	Foward	CCTTGTGAGAAATGGGCAGT
	Reverse	CAGGGAGGGAAACACACGTT
Rat IL-6	Foward	CACTTCACAAGTCGGAGGCT
	Reverse	AGCACACTAGGTTGCCGAG

1.3 实验方法和步骤

1.3.1 SD 大鼠 KCs 分离、培养和鉴定 KCs 分离培养参考既往文献^[8]。通过 DAB 染色和免疫荧光标记 CD163 进行鉴定: 分离的 KCs 培养 48 h 后, 消化收集细胞, 接种于免疫荧光小室(2000/个), 贴壁后, 多聚甲醛室温固定 30 min, PBS 洗涤 3×5 min, 免疫荧光封闭液封闭 30 min, 加一抗(兔抗大鼠 CD163 多克隆抗体 1:250), 4℃ 过夜, PBST 洗涤 3×5 min, 加二抗(Alexa Fluor 488 标记山羊抗兔 IgG 1:200)室温孵育 2 h, PBST 洗涤 3×5 min, DAPI 染色 30 min, PBST 洗涤 3×5 min, 抗荧光猝灭封片液封片, 共聚焦显微镜下观察。

1.3.2 细胞转染 将分离的 KCs 按照 1×10^5 接种于六孔板, 贴壁后, 分别利用 Lipofectamine™ 2000 转染 FABP4 小干扰和对照质粒, 1 mL Opti-MEM 加 2 μg 质粒和 5 μL Lipofectamine™ 2000, 转染 16 h 后, 更换正常培养基或进行后续处理。慢病毒转染根据说明书, 利用 24 孔板, 每孔铺 10000 个细胞, 贴壁后, 根据病毒 MOI 值和病毒滴度, 计算所需加入病毒量, 1 mL 体系加入 5 μg polybrene, 转染 12 h 后, 更换正常培养基, 待细胞

长至 80-90% 后, 转入 25 cm² 细胞培养瓶, 通过嘌呤霉素进行筛选 2-3 周, 建立稳定表达人源 FABP4 的 KCs, 通过 qRT-PCR 和 WB 验证转染效果, 并进行后续实验。

1.3.3 实时荧光定量 PCR (qRT-PCR) 六孔板培养并收集细胞, 按照 RNA 提取试剂盒说明, 提取细胞总 RNA 并定量。PBS 洗涤三次, 加入 700 μL QIAzol, 室温放置 3-5 min, 吹打并收集裂解细胞。加入 140 μL 氯仿, 漩涡振荡器剧烈震荡 15 s, 室温静置 3 min, 4℃ 12000 rpm 离心 15 min, 收集上层上清约 350 μL, 加入 525 μL 无水乙醇, 转入滤柱, 12000 rpm 离心 15 s, 弃滤液, 加入 500 μL RWT, 12000 rpm 离心 15 s, 弃滤液, 加入 500 μL RPE, 12000 rpm 离心 15 s 洗涤两次, 弃滤液, 加入 30 μL 无酶水重悬 RNA 沉淀, 即为提取的总 RNA。按照 1:100 的比例, 稀释 RNA 至 200 μL 并定量, 测定 OD_{260/280}。反转录采用 Takara 反转录试剂盒, 10 μL 体系(6 μL 无酶水、2 μL RNA 加 2 μL 反转录 Mix), 37℃ 15 min, 85℃ 5 s, 至 4℃ 后取出即为 cDNA, 稀释 3-5 倍进行下一步定量 PCR。定量 PCR 体系为 20 μL(无酶水 6.4 μL, cDNA 2 μL, 前后引物各 0.8 μL 加 TB Green 10 μL)。

PCR 反应采用三步法, 即 95℃ 预变性 10 min、95℃ 变性 10 s、60℃ 退火 20 s、72℃ 延伸 15 s。GAPDH 作为内参。

1.3.4 Western-Blot 六孔板培养并收集细胞, 按照蛋白提取试剂盒说明, 提取细胞总蛋白并定量, 全程冰上操作。RIPA 蛋白裂解液预先加入蛋白酶和磷酸酶抑制剂。PBS 洗涤三次, 加入 100 μ L RIPA 裂解液冰上裂解 5 min, 利用细胞刮刮下细胞, 转移至 1.5 mL 离心管, 静置 5 min, 超声裂解 7-8 次, 12000 rpm 于 4℃ 离心 15 min, 吸取上清, 即为总蛋白, 加入 1/4 量 5 \times loading buffer, 100℃ 煮沸变性 10 min。蛋白定量根据试剂盒说明进行。根据试剂盒说明配制 10% 电泳凝胶, 每孔加入约 30 μ g 蛋白, 上层浓缩胶 40 mA, 下层分离胶 60 mA, 转膜采用半干转方法 (25 V, 35 min), 10% 脱脂牛奶室温封闭 1 h, 加一抗 (1:1000), 4℃ 过夜, TBST 洗涤 3 \times 5 min, 加 HRP 标记抗兔二抗 (1:2000), 室温孵育 2 h, TBST 洗涤 3 \times 5 min, ECL 超敏发光

液显影。 β -actin 作为内参。

1.4 统计学分析

所有数据采用 SPSS13.0 软件进行统计学分析, 各组数据表示为 $\bar{x} \pm SD$, 组间比较采用 One-Way ANOVA 和 Dunnett's t 检验。 $P < 0.05$ 为差异具有统计学意义。

2 结果

2.1 LPS 刺激 KCs 表达 FABP4 的作用

通过梯度离心, 成功分离 KCs。贴壁初期细胞呈圆形, 贴壁 24 h 后, 部分细胞呈梭型, DAB 染色呈“煎蛋”样改变, CD163 阳性 (图 1)。将分离的 KCs 分为空白对照组和 LPS 浓度梯度组 (5、10 和 20 ng/mL), 刺激 24 h, 结果显示外源性 LPS 刺激, 能够明显以浓度依赖的方式诱导 FABP4 mRNA 和蛋白的表达, 以 20 ng/mL 浓度最为明显, 较 NC 组升高 14 倍 (图 2)。

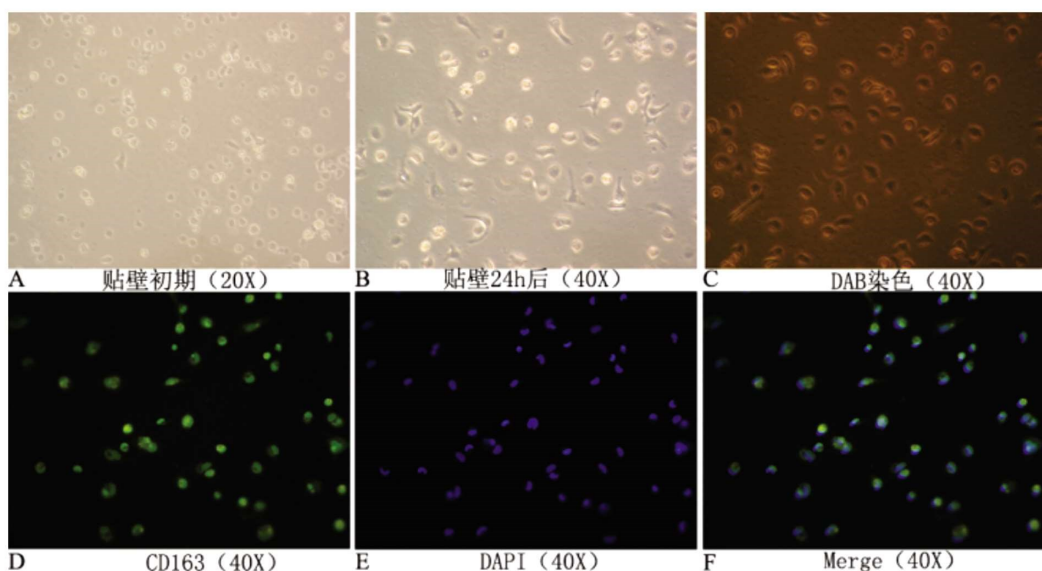


图 1 分离的 Kupffer 细胞形态及免疫荧光

Fig. 1 Cellular morphology of KCs and immunofluorescence

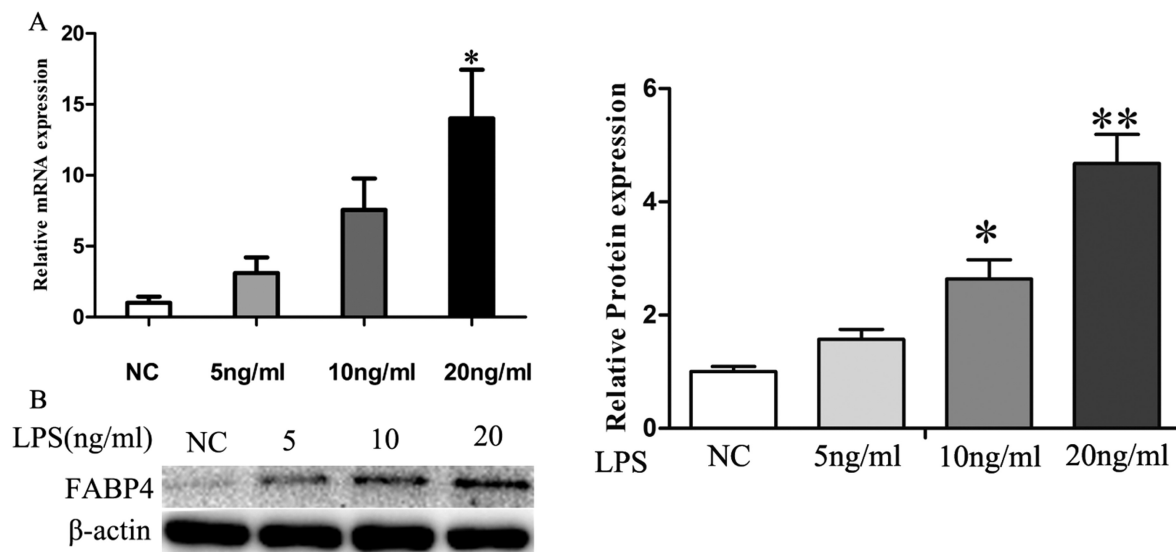


图 2 外源性 LPS 刺激分离的 KCs 表达 FABP4 mRNA(A)和蛋白(B), * $P < 0.05$ vs NC

Fig. 2 Exogenous LPS treatment could significantly promote the expression of FABP4 in KCs on both mRNA (A) and protein levels (B), * $P < 0.05$ vs NC

2.2 沉默 FABP4 对 LPS 刺激 KCs NF-κB 信号通路活化和炎症因子表达的影响

利用 siRNA 成功敲低 KCs FABP4 的表达 (图 3A 和 B)。

RT-PCR 结果显示,沉默 FABP4 后,LPS 刺激 KCs 炎症细胞因子的合成显著减弱,同时 NF-κB 通路的 p-p65 和 p-IκBα 的表达也明显减少(图 3C 和 D)。

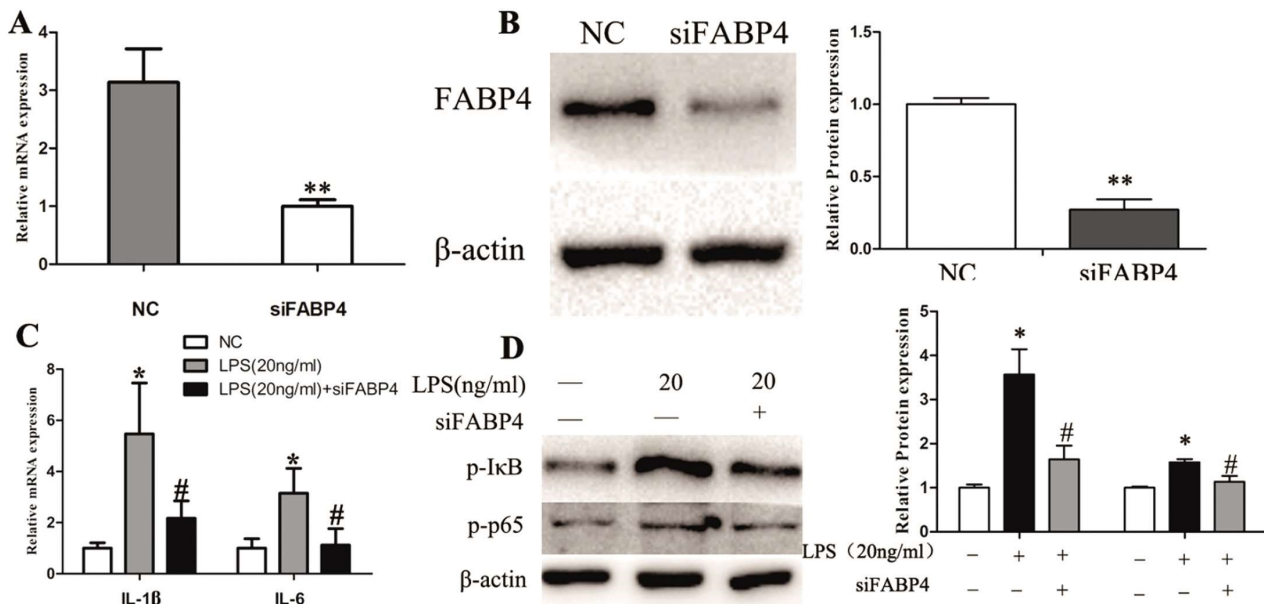


图 3 siRNA 沉默 KCs FABP4 表达(A:qRT-PCR;B:WB),**P<0.01 vs NC;沉默 FABP4 显著减弱 LPS 刺激 KCs 表达 IL-1β 和 IL-6(C),以及减弱 NF-κB 信号通路活性(D),*P<0.05 vs NC;#P<0.05 vs LPS 刺激组

Fig. 3 Knockdown of FABP4 by siRNA (A: qRT-PCR; B: WB), **P<0.01 vs NC; Knockdown of FABP4 could significantly alleviate LPS induced inflammation factors expressions (C) and NF-κB pathway activation (D) in KCs, *P<0.05 vs NC; #P<0.05 vs LPS Group

2.3 上调 FABP4 对 KCs NF-κB 通路活化和炎症因子表达的影响

给予人源 FABP4 细胞因子(10 ng/mL 和 20 ng/mL)刺激 24 h,结果显示,FABP4 可以浓度依赖的方式诱导 KCs p-p65 和 p-IκBα 的表达上调,同时明显促进 IL-1β 和 IL-6 的合成,分别升高约 7 倍和 5 倍(图 4);利用慢病毒成功在大鼠 KCs 上调人源 FABP4 的表达(图 5),也可以诱导 p-p65 和 p-IκBα 的表达,同时促进 IL-1β 和 IL-6 的表达(图 6 A,B);而给予 NAC (10 μM) 处理后,可以显著抑制 FABP4 诱导的 p-p65 表达和 IL-1β、IL-6 的合成(图 6 C,D)。

3 讨论

NAFLD 是除外酒精和其他明确的肝损害因素所致的,以弥漫性肝细胞大泡性脂肪变为主要特征的临床病理综合征,

包括单纯性脂肪肝、非酒精性脂肪性肝炎(Non-alcoholic steatohepatitis, NASH)、肝硬化和肝癌,是临床常见的慢性肝病。在欧美等西方发达国家,普通成人 NAFLD 患病率为 20%~33%,我国 NAFLD 发病率约为 20.9%^[9],且呈现迅速增长及低龄化趋势,已成为我国肝病及隐源性肝硬化的主要病因之一。

FABPs 作为细胞内的脂质伴侣,参与细胞的脂肪转运和代谢。目前 FABPs 家族包括 9 个成员(FABP1-9),不同亚型分布在不同的组织和细胞。FABP4 又称为脂肪细胞型 FABP (A-FABP),因其主要表达于脂肪细胞。脂肪细胞分化过程中, FABP4 表达明显上调,同时 FABP4 可以被脂肪酸、地塞米松和胰岛素通过 PPAR γ 转录调控^[6]。FABP4 可以激活激素敏感型脂肪酶(HSL),进而调控脂解过程,抑制 FABP4 的脂肪细胞,脂解作用明显减弱^[10],说明 FABP4 在脂肪细胞内脂质代谢和转运过程中发挥着关键作用,因此,FABP4 表达的失调,可能

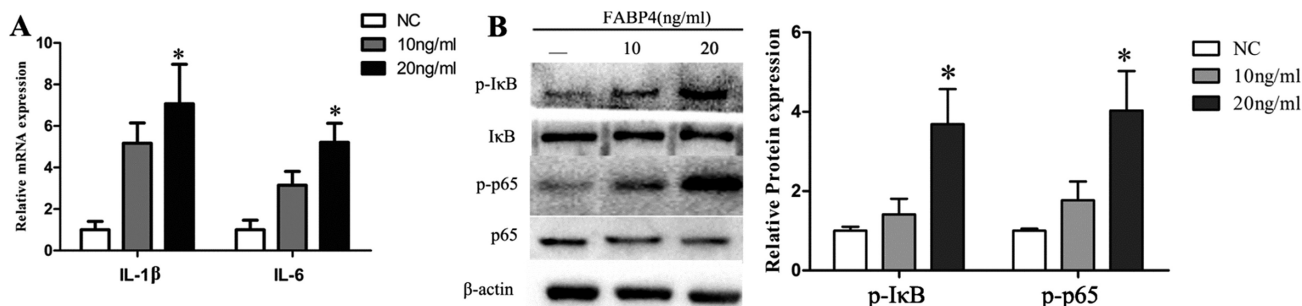


图 4 外源性 FABP4 细胞因子处理 KCs 促进 NF-κB 信号通路活化(A)和炎症因子的表达(B),*P<0.05 vs NC
Fig. 4 Exogenous FABP4 cytokines treatment could significantly promote NF-κB pathway activation (A) and inflammation factors expressions (B) in KCs, *P<0.05 vs NC

(A) and inflammation factors expressions (B) in KCs, *P<0.05 vs NC

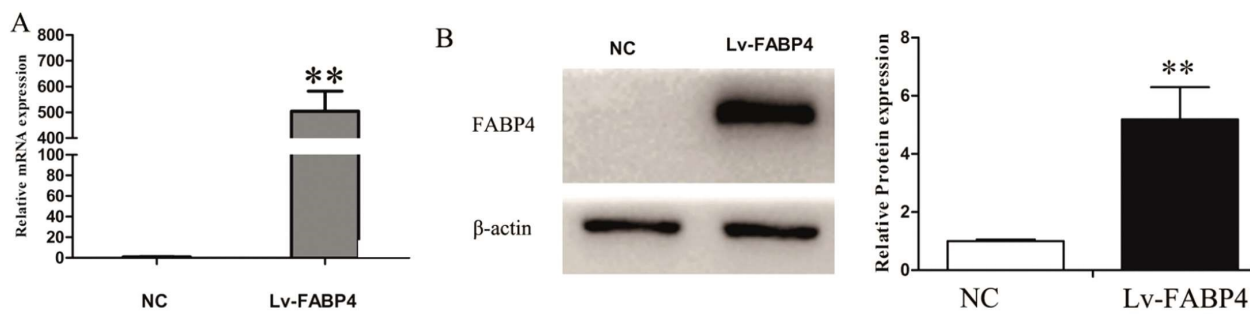
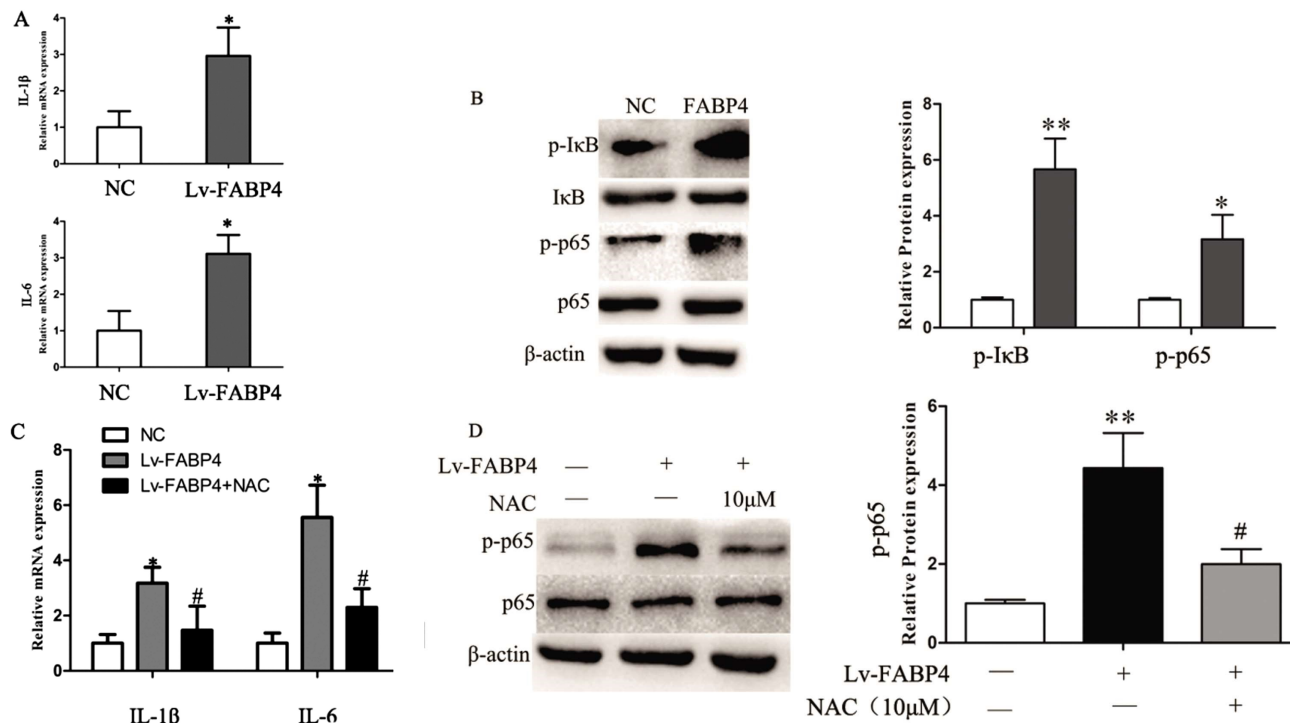


图 5 KCs 转染 FABP4 慢病毒后 FABP4 表达(A: qRT-PCR; B: WB), **P<0.01 vs NC

Fig. 5 KCs were transfected with FABP4 expression lentivirus (A: qRT-PCR; B: WB), **P<0.01 vs NC

图 6 上调 KCs FABP4 表达, 显著促进炎症因子的表达(A)和 NF- κ B 通路的活化(B), *P<0.05 vs NC; 而给予 NAC 处理, 则可以显著减弱 FABP4 诱导的炎症因子表达(C)和 p65 活化(D), *P<0.05 vs NC; #P<0.05 vs FABP4 上调组Fig. 6 Transfection with FABP4 lentivirus could significantly promote inflammation factors expressions (A) and NF- κ B pathway activation (B) in KCs, *P<0.05 vs NC. And NAC treatment could significantly alleviate inflammation factors expressions (C) and NF- κ B pathway activation (D) in KCs after FABP4 lentivirus transfection, *P<0.05 vs NC; #P<0.05 vs FABP4 transfection group

会导致脂肪组织脂质代谢失调。对 FABP4 与代谢综合征 (metabolic syndrome, MS) 的研究发现, 超重及肥胖人群血清 FABP4 水平比正常体重人群高, 并与腰围、血压、血脂紊乱、空腹胰岛素及 IR 呈正相关, FABP4 水平反映了 MS 的严重程度^[11]。因此, 有学者提出 FABP4 可作为 MS 新的生物学标志^[12,13]。NAFLD 与 MS 关系密切, 甚至被认为是 MS 的肝脏表现。在几个不同种族的研究人群发现, NAFLD 患者肝脏 FABP4 mRNA 和循环 FABP4 水平均增高^[14,15], 血液中 FABP4 水平与肝脏活检的炎症和纤维化程度正相关^[14]。IR 是 MS 的多种代谢异常病理生理基础。FABP4 影响到 MS 的各个方面, 可能是 IR、脂质代谢和炎症的核心调节者。有 MS 的妇女血清中 C- 反应蛋白 (C-reactive protein, CRP) 和 FABP4 浓度增高, 且 CRP 和 FABP4 与体重指数 (Body Mass Index, BMI) 和腰围强相关, 这两种标志物与脂质和 IR 也呈中度相关^[16]。因此, FABP4 近来被认为是 MS 的新的血清学标志, 抑制 FABP4 表

达可能改善 MS 代谢紊乱。人群研究发现, PPAR γ 激活剂可增加 2 型糖尿病病人 FABP4 mRNA 表达、提高细胞内 FABP4 水平、增加 FABP4 的分泌, 短期给予健康妇女过量饮食, 会引起 PPAR γ 及 FABP4 表达增加, 脂肪组织的增加与 PPAR γ 及 FABP4 mRNA 上调有关^[15]。如果通过药物抑制 FABP4 的功能, 就可控制脂质信号转导、代谢反应和炎症反应, 对肥胖、IR、2 型糖尿病、动脉粥样硬化等一系列代谢及炎症性疾病发挥治疗作用。研究发现高脂饮食喂养的 FABP4 $^{-/-}$ 小鼠较 WT 小鼠血浆游离脂肪酸浓度高, 胆固醇和甘油三酯水平降低, 且未发生 IR 及糖尿病, 脂肪细胞中亦无 TNF- α 表达^[17]。FABP4 加重 LPS 或高脂饮食所致的肝脏脂肪蓄积, 通过与 JNK 和 c-Jun 形成反馈环路参与 KCs 的炎症反应, 药物抑制 FABP4 减轻了肝脏损伤与干扰 FABP4 与 JNK/c-Jun 间的反馈有关。

同时, 巨噬细胞同样高表达 FABP4, 在单核细胞向巨噬细胞分化过程中, FABP4 表达逐渐升高^[18]。FABP4 是巨噬细胞炎

症因子合成的重要调节者,FABP4/-巨噬细胞不能产生TNF- α 、IL-6、IL-1 β 和MCP-1等细胞因子^[19]。此外,FABP4还可以通过抑制PPAR γ -LXR α -ABCA1通路促进巨噬细胞胆固醇的积累和泡沫细胞的形成^[20]。FABP4通过与JNK和转录因子AP-1之间的正反馈,促进LPS诱导的巨噬细胞炎症反应,上调炎症细胞因子合成^[21]。FABP4选择性抑制剂BMS309403通过与FABP4竞争结合部位,可以延缓2型糖尿病和动脉粥样硬化的进展^[22]。

KCs是肝脏的巨噬细胞,也是防治NAFLD的重要靶细胞^[24]。近年证实,肠道正常菌群与高脂饮食相互作用产生代谢性内毒素血症,LPS活化KCs是NAFLD发病的始发环节,通过肝脏局部炎症诱导肝细胞IR^[1,2]。通过补充益生元或益生菌,则可以显著改善高脂饮食诱导的肠道菌群改变和KCs活化。Matsumoto K等的研究提示,在MCD诱导的小鼠脂肪性肝炎模型中,给予低聚果糖后,肠道菌群失调明显减轻,同时,由于CD14阳性的KCs数量和TLR表达明显降低,因此,肝脏脂肪变性和炎症反应显著缓解^[23]。而通过直接抑制KCs功能或选择性剔除KCs可有效减轻LPS诱导的肝损害,防止高脂饮食引起NAFLD^[3]。一方面,活化的KCs能够触发肝脏脂肪沉积并释放大量炎症细胞因子^[24,25],另一方面,KCs还可以通过释放IL-10等抗炎因子,干扰肝脏浸润的单核细胞来源的巨噬细胞的炎症反应^[26]。因此,KCs在NAFLD向NASH进展过程中扮演着关键的角色,其机制为KCs的细胞极化状态(M1-M2)改变。在单纯性脂肪肝患者肝脏内,M2极化的KCs显著高于NASH患者^[27]。M1极化的KCs通过释放IL-1和IL-6等炎症因子,促进肝脏脂肪变和炎症反应,而M2极化的KCs则发挥抗炎作用。研究显示,在HFD诱导的小鼠NASH模型中,失活M2极化的KCs显著加重肝脏炎症反应。同时,M2极化的KCs能够促进M1极化KCs的细胞凋亡,进而发挥保护效应^[27]。因此,KCs极化状态转换,是NASH发病的关键触发因素,同时也可能是NASH治疗的关键靶细胞,抑制KCs NLRP3通路活化显著减弱棕榈酸诱导小鼠的肝脏炎症和NASH^[28,29]。

本研究中,我们成功利用梯度离心的方法分离肝脏KCs,体外证实LPS可以直接诱导KCs表达FABP4,提示FABP4可能参与了KCs的炎症反应过程。进一步通过沉默FABP4证实,降低FABP4表达后,可以显著减弱NF- κ B信号通路的活化和炎症细胞因子的释放,而上调FABP4则可以直接诱导NF- κ B信号通路的活化和炎症细胞因子的释放。说明FABP4作为细胞因子,可以直接调控肝脏巨噬细胞的炎症反应。既往研究证实,FABP4可以直接抑制脂肪细胞PPAR γ ^[30],进而抑制脂肪生成,同时还可以抑制巨噬细胞PPAR γ 表达和VLDL诱导的泡沫细胞活化^[20]。上述研究结果提示,FABP4可以同时调控脂肪沉积和炎症反应。由于FABP4主要表达于脂肪细胞和巨噬细胞,因此,我们推测,在NASH发病过程中,FABP4可以通过旁分泌和自分泌的方式,激活并放大肝脏KCs炎症信号级联反应,进而参与肝脏炎症和IR的发生,此结果进一步证实,脂肪组织和巨噬细胞是NASH发生的关键靶点。然而,FABP4诱导KCs细胞炎症反应的机制并不清楚。既往研究提示,FABP4可以抑制小神经胶质细胞和巨噬细胞UCP2表

达^[31,32],进而抑制氧化应激,而ROS是NLRP3通路和NF- κ B通路活化的最重要因素^[33,34]。因此,我们推测,FABP4促进KCs炎症反应的效应可能与氧化应激有关。我们的结果也证实,通过NAC抑制ROS水平,可以显著抑制FABP4诱导的KCs炎症因子的释放。

因此,FABP4直接参与了肝脏KCs炎症信号通路NF- κ B的活化和炎症因子的合成,可能是NAFLD发生和进展的关键细胞因子介质,具有潜在的治疗靶点作用。

参考文献(References)

- [1] Grunhut J, Wang W, Aykut B, et al. Macrophages in Nonalcoholic Steatohepatitis: Friend or Foe? [J]. Eur Med J Hepatol, 2018, 6 (1): 100-109
- [2] Li P, He K, Li J, et al. The role of Kupffer cells in hepatic diseases[J]. Mol Immunol, 2017, 85: 222-229
- [3] Vespasiani-Gentilucci U, Gallo P, Picardi A. The role of intestinal microbiota in the pathogenesis of NAFLD: starting points for intervention[J]. Arch Med Sci, 2018, 14(3): 701-706
- [4] Krishnan S, Ding Y, Saedi N, et al. Gut Microbiota-Derived Tryptophan Metabolites Modulate Inflammatory Response in Hepatocytes and Macrophages[J]. Cell Rep, 2018, 23(4): 1099-1111
- [5] Zhao YY, Yang R, Xiao M, et al. Kupffer cells activation promoted binge drinking-induced fatty liver by activating lipolysis in white adipose tissues[J]. Toxicology, 2017, 390: 53-60
- [6] Furuhashi M, Saitoh S, Shimamoto K, et al. Fatty Acid-Binding Protein 4 (FABP4): Pathophysiological Insights and Potent Clinical Biomarker of Metabolic and Cardiovascular Diseases [J]. Clin Med Insights Cardiol, 2015, 8(Suppl 3): 23-33
- [7] Hoo RL1, Lee IP, Zhou M, et al. Pharmacological inhibition of adipocyte fatty acid binding protein alleviates both acute liver injury and non-alcoholic steatohepatitis in mice [J]. J Hepatol, 2013, 58(2): 358-364
- [8] 张哲,赵曙光,倪阵,等.一种改良大鼠肝脏 kupffer 细胞分离方法 [J]. 胃肠病学和肝病学杂志, 2012, 21(11): 1060-1064
- [9] Zhu JZ, Dai YN, Wang YM, et al. Prevalence of Nonalcoholic Fatty Liver Disease and Economy[J]. Dig Dis Sci, 2015, 60(11): 3194-3202
- [10] Smith AJ, Sanders MA, Juhlmann BE, et al. Mapping of the hormone-sensitive lipase binding site on the adipocyte fatty acid-binding protein (AFABP). Identification of the charge quartet on the AFABP/aP2 helixturn-helix domain [J]. J Biol Chem, 2008, 283(48): 33536-33543
- [11] Chen MC, Hsu BG, Lee CJ, et al. High serum adipocyte fatty acid binding protein level as a potential biomarker of aortic arterial stiffness in hypertensive patients with metabolic syndrome [J]. Clin Chim Acta, 2017, 473: 166-172
- [12] Li JC, Wu DA, Hou JS, et al. High Serum Adipocyte Fatty Acid Binding Protein Is Associated with Metabolic Syndrome in Patients with Type 2 Diabetes[J]. J Diabetes Res, 2016, 2016: 8380279
- [13] Stefanska A, Pomiczowska I, Sypniewska G. A-FABP concentration is more strongly associated with cardiometabolic risk factors and the occurrence of metabolic syndrome in premenopausal than in postmenopausal middle-aged women[J]. Biomed Res Int, 2014, 2014: 645762

- [14] Milner KL, van der Poorten D, Xu A, et al. Adipocyte fatty acid binding protein levels relate to inflammation and fibrosis in nonalcoholic fatty liver disease[J]. Hepatology, 2009, 49(6): 1926-1934
- [15] Kim YC, Cho YK, Lee WY, et al. Serum adipocytespecific fatty acid-binding protein is associated with nonalcoholic fatty liver disease in apparently healthy subjects[J]. J Nutr Biochem, 2011, 22: 289-292
- [16] Stefanska A, Sypniewska G, Blaszkiewicz B, et al. Comparison between C-reactive protein and adipocyte fatty acid-binding protein as a component of metabolic syndrome in middle-aged women [J]. Clin Biochem, 2011, 44(4): 304-306
- [17] Furuhashi M, Tuncman G, Görgün CZ, et al. Treatment of diabetes and atherosclerosis by inhibiting fatty-acid-binding protein aP2 [J]. Nature, 2007, 447(7147): 959-965
- [18] Jiang Y, Ma S, Zhang H, et al. FABP4-mediated homocysteine-induced cholesterol accumulation in THP-1 monocyte-derived macrophages and the potential epigenetic mechanism [J]. Mol Med Rep, 2016, 14(1): 969-976
- [19] Xu H, Hertzel AV, Steen KA, et al. Loss of Fatty Acid Binding Protein 4/aP2 Reduces Macrophage Inflammation Through Activation of SIRT3[J]. Mol Endocrinol, 2016, 30(3): 325-334
- [20] Boss M, Kemmerer M, Brüne B, et al. FABP4 inhibition suppresses PPAR γ activity and VLDL-induced foam cell formation in IL-4-polarized human macrophages[J]. Atherosclerosis, 2015, 240(2): 424-430
- [21] Hui X, Li H, Zhou Z, et al. Adipocyte fatty acid-binding protein modulates inflammatory responses in macrophages through a positive feedback loop involving c-Jun NH2-terminal kinases and activator protein-1[J]. J Biol Chem, 2010, 285: 10273-10280
- [22] Floresta G, Pistarà V, Amata E, et al. Adipocyte fatty acid binding protein 4 (FABP4) inhibitors. A comprehensive systematic review[J]. Eur J Med Chem, 2017, 138: 854-873
- [23] Matsumoto K, Ichimura M, Tsuneyama K, et al. Fructo-oligosaccharides and intestinal barrier function in a methionine-choline-deficient mouse model of nonalcoholic steatohepatitis [J]. PLoS One, 2017, 12(6): e0175406
- [24] Huang W, Metlakunta A, Dedousis N, et al. Depletion of liver Kupffer cells prevents the development of diet-induced hepatic steatosis and insulin resistance[J]. Diabetes, 2010, 59: 347-357
- [25] Clementi AH, Gaudy AM, van Rooijen N, et al. Loss of Kupffer cells in diet-induced obesity is associated with increased hepatic steatosis, STAT3 signaling, and further decreases in insulin signaling [J]. Biochim Biophys Acta, 2009, 1792: 1062-1072
- [26] Krenkel O, Tacke F. Liver macrophages in tissue homeostasis and disease[J]. Nat Rev Immunol, 2017, 17: 306-321
- [27] Wan J, Benkdane M, Teixeira-Clerc F, et al. M2 Kupffer cells promote M1 Kupffer cell apoptosis: a protective mechanism against alcoholic and nonalcoholic fatty liver disease [J]. Hepatology, 2014, 59(1): 130-42
- [28] Cai C, Zhu X, Li P, et al. NLRP3 Deletion Inhibits the Non-alcoholic Steatohepatitis Development and Inflammation in Kupffer Cells Induced by Palmitic Acid[J]. Inflammation, 2017, 40(6): 1875-1883
- [29] He K, Zhu X, Liu Y, et al. Inhibition of NLRP3 inflammasome by thioredoxin-interacting protein in mouse Kupffer cells as a regulatory mechanism for non-alcoholic fatty liver disease development [J]. Oncotarget, 2017, 8(23): 37657-37672
- [30] Garin-Shkolnik T, Rudich A, Hotamisligil GS, et al. FABP4 attenuates PPAR γ and adipogenesis and is inversely correlated with PPAR γ in adipose tissues[J]. Diabetes, 2014, 63(3): 900-11
- [31] Duffy CM, Xu H, Nixon JP, et al. Identification of a fatty acid binding protein4-UCP2 axis regulating microglial mediated neuroinflammation[J]. Mol Cell Neurosci, 2017, 80: 52-57
- [32] Steen KA, Xu H, Bernlohr DA. FABP4/aP2 Regulates Macrophage Redox Signaling and Inflammasome Activation via Control of UCP2 [J]. Mol Cell Biol, 2017, 37(2): e00282-16
- [33] Angajala A, Lim S, Phillips JB, et al. Diverse Roles of Mitochondria in Immune Responses: Novel Insights Into Immuno-Metabolism [J]. Front Immunol, 2018, 9: 1605
- [34] Zhang J, Wang X, Vikash V, et al. ROS and ROS-Mediated Cellular Signaling[J]. Oxid Med Cell Longev, 2016, 2016: 4350965